

Starkniederschlagshöhen und -spenden gemäß KOSTRA-DWD-2010R

Auswertungszeitraum von 1951 - 2010, Januar - Dezember

Rasterfeld: 26070

Zeile: 26

Spalte: 70

Seite: 1/2

| Dauerstufe D | Wiederkehrzeit T | | | | | | | | | | | | | | | | | | |
|--------------|------------------|------|------------|------|------------|------|------------|------|------------|------|------------|------|------------|------|------------|-------|------------|-------|------------|
| | 1 a | | 2 a | | 3 a | | 5 a | | 10 a | | 20 a | | 30 a | | 50 a | | 100 a | | |
| min | Std | mm | l / (s ha) | mm | l / (s ha) | mm | l / (s ha) | mm | l / (s ha) | mm | l / (s ha) | mm | l / (s ha) | mm | l / (s ha) | mm | l / (s ha) | mm | l / (s ha) |
| 5 | | 5,2 | 173,3 | 6,6 | 220,0 | 7,4 | 246,7 | 8,5 | 283,3 | 9,9 | 330,0 | 11,4 | 380,0 | 12,2 | 406,7 | 13,3 | 443,3 | 14,7 | 490,0 |
| 10 | | 8,1 | 135,0 | 10,1 | 168,3 | 11,3 | 188,3 | 12,9 | 215,0 | 14,9 | 248,3 | 17,0 | 283,3 | 18,2 | 303,3 | 19,7 | 328,3 | 21,8 | 363,3 |
| 15 | | 9,9 | 110,0 | 12,5 | 138,9 | 14,0 | 155,6 | 15,8 | 175,6 | 18,4 | 204,4 | 21,0 | 233,3 | 22,5 | 250,0 | 24,3 | 270,0 | 26,9 | 298,9 |
| 20 | | 11,2 | 93,3 | 14,2 | 118,3 | 15,9 | 132,5 | 18,1 | 150,8 | 21,1 | 175,8 | 24,0 | 200,0 | 25,8 | 215,0 | 28,0 | 233,3 | 30,9 | 257,5 |
| 30 | | 12,9 | 71,7 | 16,5 | 91,7 | 18,7 | 103,9 | 21,4 | 118,9 | 25,1 | 139,4 | 28,7 | 159,4 | 30,9 | 171,7 | 33,6 | 186,7 | 37,3 | 207,2 |
| 45 | | 14,3 | 53,0 | 18,8 | 69,6 | 21,5 | 79,6 | 24,8 | 91,9 | 29,4 | 108,9 | 33,9 | 125,6 | 36,6 | 135,6 | 39,9 | 147,8 | 44,5 | 164,8 |
| 60 | | 15,1 | 41,9 | 20,4 | 56,7 | 23,5 | 65,3 | 27,4 | 76,1 | 32,6 | 90,6 | 37,9 | 105,3 | 41,0 | 113,9 | 44,9 | 124,7 | 50,2 | 139,4 |
| 90 | | 16,2 | 30,0 | 22,0 | 40,7 | 25,4 | 47,0 | 29,6 | 54,8 | 35,4 | 65,6 | 41,2 | 76,3 | 44,6 | 82,6 | 48,8 | 90,4 | 54,6 | 101,1 |
| 120 | 2 | 17,1 | 23,8 | 23,2 | 32,2 | 26,8 | 37,2 | 31,4 | 43,6 | 37,5 | 52,1 | 43,7 | 60,7 | 47,3 | 65,7 | 51,8 | 71,9 | 58,0 | 80,6 |
| 180 | 3 | 18,4 | 17,0 | 25,1 | 23,2 | 29,0 | 26,9 | 34,0 | 31,5 | 40,7 | 37,7 | 47,4 | 43,9 | 51,4 | 47,6 | 56,3 | 52,1 | 63,0 | 58,3 |
| 240 | 4 | 19,4 | 13,5 | 26,5 | 18,4 | 30,7 | 21,3 | 36,0 | 25,0 | 43,1 | 29,9 | 50,3 | 34,9 | 54,5 | 37,8 | 59,8 | 41,5 | 66,9 | 46,5 |
| 360 | 6 | 20,8 | 9,6 | 28,6 | 13,2 | 33,2 | 15,4 | 39,0 | 18,1 | 46,8 | 21,7 | 54,6 | 25,3 | 59,2 | 27,4 | 65,0 | 30,1 | 72,8 | 33,7 |
| 540 | 9 | 22,4 | 6,9 | 30,9 | 9,5 | 35,9 | 11,1 | 42,2 | 13,0 | 50,8 | 15,7 | 59,3 | 18,3 | 64,3 | 19,8 | 70,6 | 21,8 | 79,2 | 24,4 |
| 720 | 12 | 23,6 | 5,5 | 32,7 | 7,6 | 38,0 | 8,8 | 44,7 | 10,3 | 53,8 | 12,5 | 62,9 | 14,6 | 68,3 | 15,8 | 75,0 | 17,4 | 84,1 | 19,5 |
| 1080 | 18 | 25,4 | 3,9 | 35,3 | 5,4 | 41,1 | 6,3 | 48,5 | 7,5 | 58,4 | 9,0 | 68,4 | 10,6 | 74,2 | 11,5 | 81,5 | 12,6 | 91,5 | 14,1 |
| 1440 | 24 | 26,7 | 3,1 | 37,3 | 4,3 | 43,5 | 5,0 | 51,3 | 5,9 | 61,9 | 7,2 | 72,5 | 8,4 | 78,7 | 9,1 | 86,5 | 10,0 | 97,1 | 11,2 |
| 2880 | 48 | 31,2 | 1,8 | 42,6 | 2,5 | 49,3 | 2,9 | 57,8 | 3,3 | 69,3 | 4,0 | 80,7 | 4,7 | 87,4 | 5,1 | 95,9 | 5,5 | 107,4 | 6,2 |
| 4320 | 72 | 34,1 | 1,3 | 46,1 | 1,8 | 53,1 | 2,0 | 61,9 | 2,4 | 73,9 | 2,9 | 85,9 | 3,3 | 92,9 | 3,6 | 101,7 | 3,9 | 113,7 | 4,4 |

Angaben in mm: Bemessungsniederschlagswerte h(n)

Angaben in l / (s ha): Regenspende R(n) mit $R(n) = h(n) \times 1,666667 / D[\text{min}]$

Toleranzbereiche:

+/- 10 % für $1 \text{ a} \leq T \leq 5 \text{ a}$

+/- 15 % für $5 \text{ a} < T \leq 50 \text{ a}$

+/- 20 % für $50 \text{ a} < T \leq 100 \text{ a}$

Datenbasis: KOSTRA-DWD-2010R des Deutschen Wetterdienstes. Die Regenspende wurde auf Basis des Bemessungsniederschlags zur jeweiligen Andauer berechnet.

Für die Richtigkeit und Aktualität der Angaben wird keine Gewähr übernommen. Erstellt 07/2022.

Starkniederschlagshöhen und -spenden gemäß KOSTRA-DWD-2010R

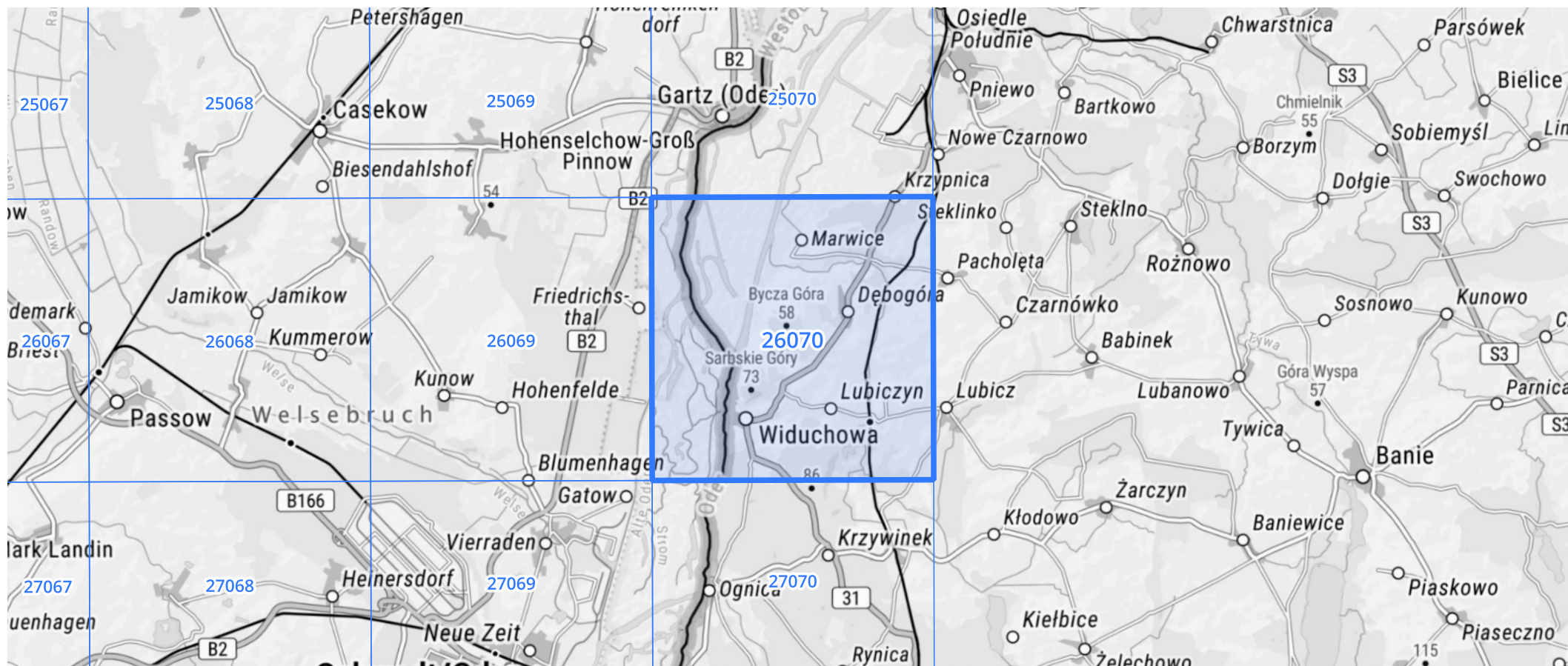
Auswertungszeitraum von 1951 - 2010, Januar - Dezember

Rasterfeld: 26070

Zeile: 26

Spalte: 70

Seite: 2/2



Quelle Rasterdaten: KOSTRA-DWD-2010R des Deutschen Wetterdienstes.

Kartendarstellung: © Bundesamt für Kartographie und Geodäsie (2022), Datenquellen: https://sgx.geodatenzentrum.de/web_public/gdz/datenquellen/Datenquellen_TopPlusOpen.html

Für die Richtigkeit und Aktualität der Angaben wird keine Gewähr übernommen. Erstellt 07/2022.